

УДК 539.422.22

## РЕАЛИЗАЦИЯ МОДИФИЦИРОВАННОЙ ТЕОРИИ ЛОКАЛЬНОЙ ПЛОТНОСТИ ЭНЕРГИИ ДЕФОРМАЦИИ ДЛЯ ОСТРЫХ V-ОБРАЗНЫХ ВЫРЕЗОВ

Ю. Н. Овчаренко

Тульский государственный университет, 300600 Тула, Россия

E-mail: ovcharenkos@rambler.ru

Предложен новый подход для оценки разрушения тел с V-образными вырезами при нагружении двух типов. Рассмотрены два соответствующих примера квазихрупкого разрушения: с начальной прямолинейной трещиной и с острым V-образным вырезом. Получены экспериментальные данные о разрушении образцов с V-образным вырезом при изгибе.

Ключевые слова: V-образный вырез, плотность энергии деформации, схемы нагружения первого и второго типов, квазихрупкое разрушение, начальное направление развития трещины, локальный критерий разрушения.

DOI: 10.15372/PMTF20150418

**Основные положения модифицированной теории [1].** В работе [1] предложены новые по сравнению со сформулированными в [2] условия разрушения с использованием теории локальной плотности энергии деформации для острого V-образного выреза с произвольным углом раскрытия. Рассматривалось тело с V-образным вырезом, края которого свободны от нагрузок. Также в [1] в полярной системе координат проведен анализ распределения плотностей энергии деформации при растяжении-сжатии и чистом сдвиге вблизи вершины выреза.

Рассматривается плоская задача. Формулы для плотности энергии деформации при сжатии-растяжении и чистом сдвиге в полярной системе координат записываются в общем виде

$$W_{\sigma} = \frac{1}{2}(\sigma_r \varepsilon_r + \sigma_{\theta} \varepsilon_{\theta}), \quad W_{\tau} = \frac{1}{2} \tau_{r\theta} \gamma_{r\theta}$$

или через напряжения и перемещения:

$$W_{\sigma} = \frac{1}{2} \left[ \sigma_r \frac{\partial u_r}{\partial r} + \sigma_{\theta} \left( \frac{u_r}{r} + \frac{1}{r} \frac{\partial u_{\theta}}{\partial \theta} \right) \right]; \quad (1)$$

$$W_{\tau} = \frac{1}{2} \tau_{r\theta} \left( \frac{1}{r} \frac{\partial u_r}{\partial \theta} + \frac{\partial u_{\theta}}{\partial r} - \frac{u_{\theta}}{r} \right). \quad (2)$$

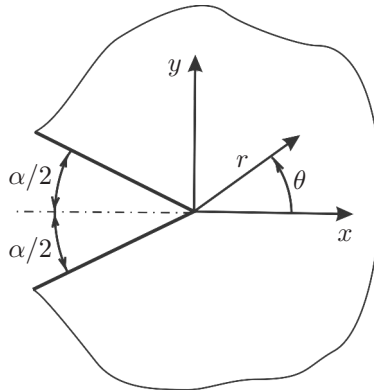


Рис. 1. Схема V-образного выреза

Асимптотические выражения для напряжений и перемещений вблизи вершины V-образного выреза (рис. 1) имеют вид [1]

$$\begin{aligned} \begin{bmatrix} \sigma_r \\ \sigma_\theta \\ \tau_{r\theta} \end{bmatrix} &= C_{1\alpha} r^{\lambda_1 - 1} \lambda_1 \begin{bmatrix} (\lambda_1 - 1) f_1(\alpha) \cos(\lambda_1 + 1)\theta - (\lambda_1 - 3) \cos(\lambda_1 - 1)\theta \\ -(\lambda_1 - 1) f_1(\alpha) \cos(\lambda_1 + 1)\theta + (\lambda_1 + 1) \cos(\lambda_1 - 1)\theta \\ (\lambda_1 - 1) [-f_1(\alpha) \sin(\lambda_1 + 1)\theta + \sin(\lambda_1 - 1)\theta] \end{bmatrix} + \\ &+ C_{2\alpha} r^{\lambda_2 - 1} \lambda_2 \begin{bmatrix} (\lambda_2 + 1) f_2(\alpha) \sin(\lambda_2 + 1)\theta - (\lambda_2 - 3) \sin(\lambda_2 - 1)\theta \\ (\lambda_2 + 1) [-f_2(\alpha) \sin(\lambda_2 - 1)\theta + \sin(\lambda_2 - 1)\theta] \\ (\lambda_2 + 1) f_2(\alpha) \cos(\lambda_2 + 1)\theta - (\lambda_2 - 1) \cos(\lambda_2 - 1)\theta \end{bmatrix}, \quad (3) \\ \begin{bmatrix} 2\mu u_r \\ 2\mu u_\theta \end{bmatrix} &= C_{1\alpha} r^{\lambda_1} \begin{bmatrix} (\lambda_1 - 1) f_1(\alpha) \cos(\lambda_1 + 1)\theta + (k - \lambda_1) \cos(\lambda_1 - 1)\theta \\ -(\lambda_1 - 1) f_1(\alpha) \sin(\lambda_1 + 1)\theta + (k + \lambda_1) \sin(\lambda_1 - 1)\theta \end{bmatrix} + \\ &+ C_{2\alpha} r^{\lambda_2} \begin{bmatrix} (\lambda_2 + 1) f_2(\alpha) \sin(\lambda_2 + 1)\theta + (k - \lambda_2) \sin(\lambda_2 - 1)\theta \\ (\lambda_2 + 1) f_2(\alpha) \cos(\lambda_2 + 1)\theta - (k + \lambda_2) \cos(\lambda_2 - 1)\theta \end{bmatrix}, \end{aligned}$$

где  $\lambda_1$  — первое положительное собственное число характеристического уравнения  $\lambda_1 \sin(2\pi - \alpha) = -\sin(\lambda_1(2\pi - \alpha))$ ;  $\lambda_2$  — первое положительное собственное число характеристического уравнения  $\lambda_2 \sin(2\pi - \alpha) = \sin(\lambda_2(2\pi - \alpha))$ ;  $\alpha$  — угол раскрытия V-образного выреза;  $\mu$  — модуль сдвига; параметр  $k$  находится по формуле  $k = (3 - \nu)/(1 + \nu)$  для задачи о плоском напряженном состоянии и по формуле  $k = 3 - 4\nu$  — для задачи о плоской деформации;  $\nu$  — коэффициент Пуассона. Далее рассматривается только задача о плоской деформации.

В формулах (3)

$$f_1(\alpha) = \frac{\sin((\lambda_1 - 1)(\pi - \alpha/2))}{\sin((\lambda_1 + 1)(\pi - \alpha/2))}, \quad f_2(\alpha) = \frac{\sin((\lambda_2 - 1)(\pi - \alpha/2))}{\sin((\lambda_2 + 1)(\pi - \alpha/2))}.$$

Параметры  $C_{1\alpha}$ ,  $C_{2\alpha}$  интерпретируются как коэффициенты интенсивности напряжений вблизи вершины V-образного выреза для нагружения первого и второго типов. В частности, в случае линейной трещины ( $\alpha = 0$ )  $C_1 = K_I/\sqrt{2\pi}$ ,  $C_2 = K_{II}/\sqrt{2\pi}$ , где  $K_I$ ,  $K_{II}$  — коэффициенты интенсивности напряжений в механике хрупкого и квазихрупкого разрушения тел с трещинами.

Представим формулы (3) в удобном для дальнейших преобразований виде

$$\begin{bmatrix} \sigma_r \\ \sigma_\theta \\ \tau_{r\theta} \end{bmatrix} = C_{1\alpha} r^{\lambda_1 - 1} \begin{bmatrix} A_1 \\ B_1 \\ D_1 \end{bmatrix} + C_{2\alpha} r^{\lambda_2 - 1} \begin{bmatrix} A_2 \\ B_2 \\ D_2 \end{bmatrix}, \quad (4)$$

$$\begin{bmatrix} 2\mu u_r \\ 2\mu u_\theta \end{bmatrix} = C_{1\alpha} r^{\lambda_1} \begin{bmatrix} E_1 \\ F_1 \end{bmatrix} + C_{2\alpha} r^{\lambda_2} \begin{bmatrix} E_2 \\ F_2 \end{bmatrix},$$

где  $A_1, A_2, B_1, B_2, D_1, D_2, E_1, E_2, F_1, F_2$  находятся из соотношений (3), (4).

При подстановке (4) в формулы (1), (2) получаем выражения для плотностей энергии деформации вблизи вершины V-образного выреза

$$W_\sigma = \frac{1}{4\mu} (C_{1\alpha}^2 r^{2(\lambda_1-1)} a_{11\sigma} + C_{1\alpha} C_{2\alpha} r^{\lambda_1+\lambda_2-2} a_{12\sigma} + C_{2\alpha}^2 r^{2(\lambda_2-1)} a_{22\sigma}); \quad (5)$$

$$W_\tau = \frac{1}{4\mu} (C_{1\alpha}^2 r^{2(\lambda_1-1)} a_{11\tau} + C_{1\alpha} C_{2\alpha} r^{\lambda_1+\lambda_2-2} a_{12\tau} + C_{2\alpha}^2 r^{2(\lambda_2-1)} a_{22\tau}), \quad (6)$$

где

$$\begin{bmatrix} a_{11\sigma} \\ a_{12\sigma} \\ a_{22\sigma} \end{bmatrix} = \lambda_1 E_1 \begin{bmatrix} A_1 \\ A_2 \\ 0 \end{bmatrix} + \lambda_2 E_2 \begin{bmatrix} 0 \\ A_1 \\ A_2 \end{bmatrix} + B_1 \begin{bmatrix} E_1 + F_1' \\ E_2 + F_2' \\ 0 \end{bmatrix} + B_2 \begin{bmatrix} 0 \\ E_1 + F_1' \\ E_2 + F_2' \end{bmatrix},$$

$$\begin{bmatrix} a_{11\tau} \\ a_{12\tau} \\ a_{22\tau} \end{bmatrix} = D_1 \begin{bmatrix} E_1' + (\lambda_1 - 1)F_1 \\ E_2' + (\lambda_2 - 1)F_2 \\ 0 \end{bmatrix} + D_2 \begin{bmatrix} 0 \\ E_1' + (\lambda_1 - 1)F_1 \\ E_2' + (\lambda_2 - 1)F_2 \end{bmatrix},$$

величины  $E_1', E_2', F_1', F_2'$  представляют собой функции  $E_1, E_2, F_1, F_2$ , продифференцированные по  $\theta$ .

В случае линейной трещины выражения (5), (6) принимают вид

$$W_\sigma = \frac{1}{r} [a_{11\sigma} C_1^2 + a_{12\sigma} C_1 C_2 + a_{22\sigma} C_2^2]; \quad (7)$$

$$W_\tau = \frac{1}{r} \frac{1}{32\mu} \left[ C_1 \left( \sin \frac{\theta}{2} + \sin \frac{3\theta}{2} \right) + C_2 \left( \cos \frac{\theta}{2} + 3 \cos \frac{3\theta}{2} \right) \right]^2, \quad (8)$$

где

$$\begin{bmatrix} a_{11\sigma} \\ a_{12\sigma} \\ a_{22\sigma} \end{bmatrix} = \frac{1}{32\mu} \begin{bmatrix} (8k-7) \cos^2(\theta/2) - 2 \cos(\theta/2) \cos(3\theta/2) + \cos^2(3\theta/2) \\ -(8k-9) \sin \theta + 4 \sin(2\theta) - 3 \sin 3\theta \\ (8k-7) \sin^2(\theta/2) - 6 \sin(\theta/2) \sin(3\theta/2) + 9 \sin^2(3\theta/2) \end{bmatrix}.$$

Согласно [1] разрушение происходит при следующих условиях:

1) начальное развитие трещины из вершины острого V-образного выреза происходит в направлении  $\theta_c$ , для которого плотность энергии деформации  $W_\sigma$  или  $W_\tau$  достигает максимального значения;

2) инициирование трещины происходит в направлении  $\theta_c$  (см. условие 1), когда максимальное значение  $W_\sigma$  или  $W_\tau$  достигает критического значения  $W_{\sigma c}$  или  $W_{\tau c}$ , характерного для данного материала.

Иными словами, имеется два возможных варианта возникновения разрушения в вершине V-образного выреза: путем разрыва в направлении  $\theta_c$ , для которого значение  $W_\sigma$  максимально, или путем сдвига в направлении  $\theta_c$ , для которого максимально значение  $W_\tau$ . Критические значения  $W_{\sigma c}$  или  $W_{\tau c}$  для соответствующих углов  $\theta_c$  вычисляются по формулам (5), (6) с использованием критических коэффициентов  $C_{1c}, C_{2c}$ , полученных экспериментально.

Для оценки разрушения необходимо определить критическое расстояние  $r_c$  от вершины V-образного выреза до рассматриваемого объема, где известны критические значения  $W_{\sigma c}$  или  $W_{\tau c}$ . Согласно [1] при хрупком разрушении расстояние  $r_c$  полагается равным радиусу цилиндрической центральной зоны вблизи вершины V-образного выреза (внутри

этой зоны вследствие сингулярности напряжений и разрыхления материал нельзя считать сплошной средой).

При квазихрупком разрушении возникают пластические деформации. Нарушение сплошности происходит внутри незначительной по размерам зоны пластичности в вершине V-образного выреза. Следует отметить, что использование при этом теории упругости, на которой базируется рассматриваемая теория разрушения, имеет условный характер.

**Критерии  $W_\sigma$ ,  $W_\tau$  при квазихрупком разрушении образца с исходной линейной трещиной (пример 1).** Согласно [3] при испытании на разрушение образцов с трещиной длиной  $l$ , изготовленных из специальной высокопрочной стали марки 10ХСНД ( $\mu = 0,78 \cdot 10^5$  МПа), подвергнутой термдеформационному воздействию (температура  $380 \pm 5$  °С, напряжение растяжения 300 МПа) в течение 8 мес, получено значение коэффициента интенсивности напряжений  $K_{Ic} = 2100$  Н/мм<sup>3/2</sup>. Испытывались на статический изгиб в условиях плоской деформации при воздействии сосредоточенной силы  $P$  образцы с линейной трещиной (рис. 2). Размеры пластической зоны оценивались с использованием критерия Мизеса.

На рис. 3 показано напряженное состояние вблизи вершины трещины при следующих начальных данных:  $\mu = 0,78 \cdot 10^5$  МПа,  $C_1 = 400$  Н/мм<sup>3/2</sup>,  $C_2 = 0$ ,  $r_c = 1$  мм,  $k = 1,8$ . Коэффициент интенсивности напряжений  $C_1$  и радиус  $r_c$  выбирались произвольно. На рис. 3 видно, что для критической величины угла  $\theta = 0$  в вершине исходной трещины ( $\tau_{r\theta} = 0$ ) напряжения  $\sigma_r = \sigma_\theta$ , т. е. в элементарном объеме в зоне вершины трещины в плоскости  $xy$  имеет место напряженное состояние, которое способствует разрыхлению материала. С учетом того что напряжение  $\sigma_z = \nu(\sigma_r + \sigma_\theta)$  отличается от напряжений  $\sigma_r$ ,  $\sigma_\theta$ , в этом элементарном объеме может также иметь место развитие пластичности.

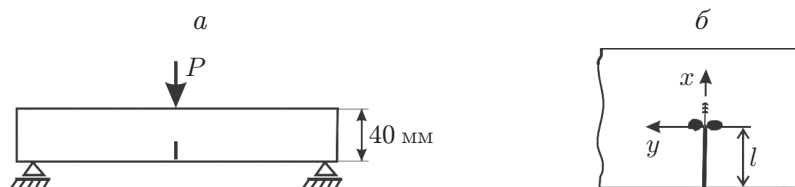


Рис. 2. Схема испытания на изгиб (а) и зона пластических деформаций в момент зарождения трещины (б) для образца с линейной трещиной

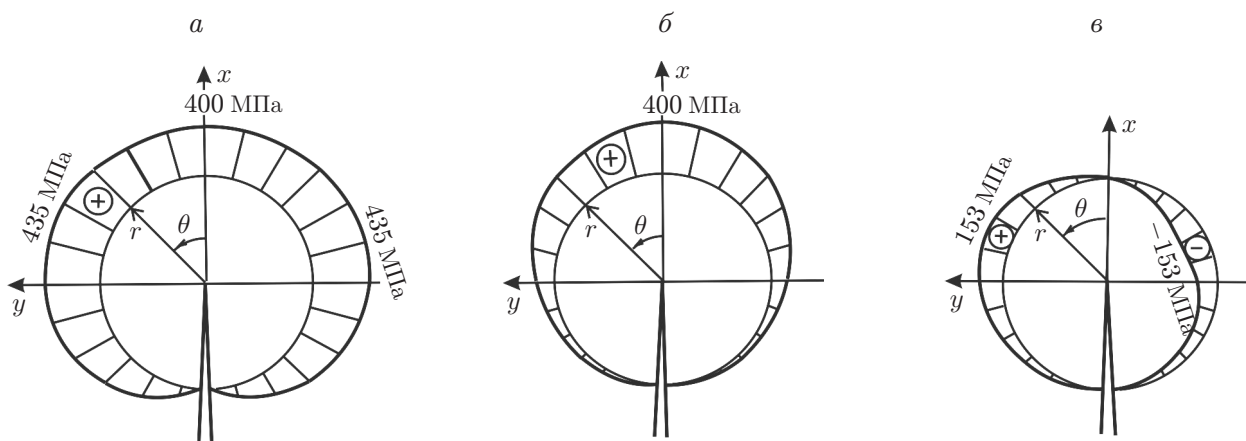


Рис. 3. Эпюры напряжений вблизи вершины трещины при нагружении по первому типу: а —  $\sigma_r$ , б —  $\sigma_\theta$ , в —  $\tau_{r\theta}$

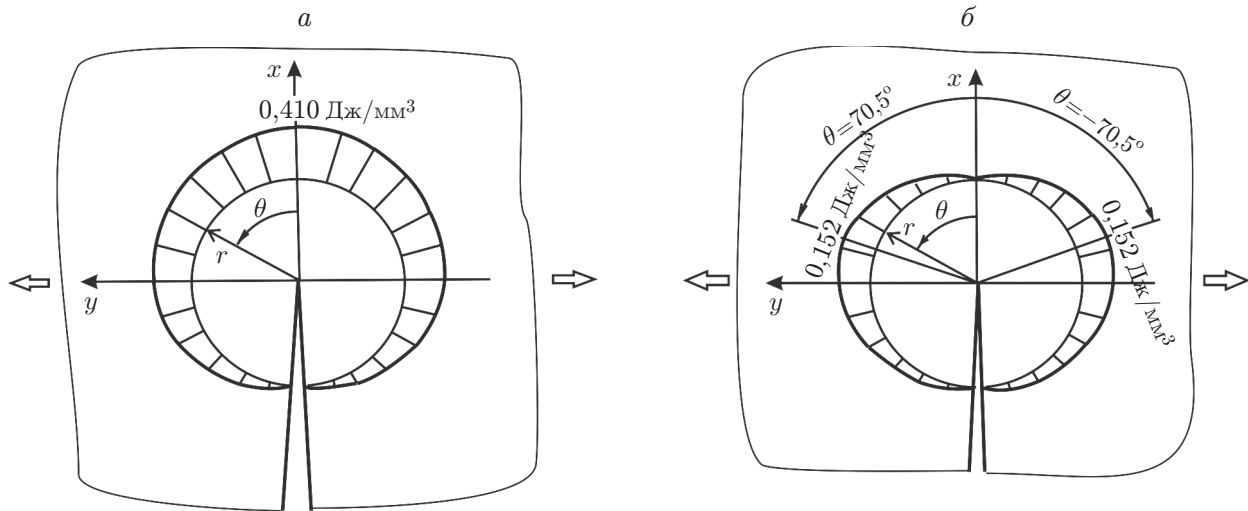


Рис. 4. Эпюры плотности энергии деформации для линейной трещины при нагружении по первому типу:

$a$  —  $W_\sigma$ ,  $b$  —  $W_\tau$ ; стрелки — направление растяжения

По формулам (7), (8) построены эпюры плотности энергии деформации  $W_\sigma$ ,  $W_\tau$  для линейной трещины при нагружении по первому типу при указанных выше начальных данных и  $\nu = 0,3$  (рис. 4). Как и предполагалось, максимальное значение  $W_\sigma = 0,410$  Дж/мм<sup>3</sup> (см. рис. 4,  $a$ ) достигается при  $\theta_c = 0$ , а максимальное значение  $W_\tau = 0,152$  Дж/мм<sup>3</sup> (см. рис. 4,  $b$ ) — при  $\theta_c = \pm 70,5^\circ$ .

Вычислим значение  $K_{Ic}$  по формуле  $C_{1c} = K_{Ic}/\sqrt{2\pi}$  (в этом примере  $C_2 = K_{II} = 0$ ) и подставим полученный результат в формулу (7) для случая  $\theta_c = 0$  и в формулу (8) для случая  $\theta = \pm 70,5^\circ$  (см. рис. 4). Получаем критическое значение  $W_{\sigma c} = 5,29$  Дж/мм<sup>3</sup> (которое реализовано в эксперименте) для  $\theta_c = 0$  и текущее значение  $W_\tau = 1,86$  Дж/мм<sup>3</sup> (которое не реализовано) для  $\theta = \pm 70,5^\circ$ . Необходимое для расчета  $W_{\sigma c}$ ,  $W_\tau$  значение критического радиуса  $r_c = 0,340$  мм взято из [4] для близкой по прочностным свойствам стали марки 4140 (ASTM A29/A29M) ввиду отсутствия экспериментального значения для исследуемой стали марки 10ХСНД.

Согласно [1] вычисленное значение  $W_{\sigma c} = 5,29$  Дж/мм<sup>3</sup> для образца с трещиной, которая может рассматриваться как V-образный острый вырез с углом раскрытия  $\alpha = 0$ , является универсальной механической характеристикой стали марки 10ХСНД, подвергнутой термомеханическому воздействию, вблизи вершины острого V-образного выреза независимо от величины угла раскрытия  $\alpha$ .

**Критерии  $W_\sigma$ ,  $W_\tau$  при квазихрупком разрушении образца с V-образным вырезом (пример 2).** Рассматривается модель симметричного сварного соединения с двумя угловыми швами (рис. 5) из стали марки 10ХСНД, подвергнутой статическому изгибу в условиях плоской деформации.

Оба угла в области перехода от наплавленного металла к основному металлу интерпретируются как острые V-образные вырезы с углом раскрытия  $\alpha = 120^\circ$ .

Для данной модели сварного соединения имеем [5]

$$C_{1\alpha} = 0,668 \frac{Pl/2}{bh^{1+\lambda_1}}; \quad (9)$$

$$C_{2\alpha} = -0,674 \frac{Pl/2}{bh^{1+\lambda_2}}, \quad (10)$$

где  $b = 100$  мм — ширина образца;  $\lambda_1 = 0,616$ ,  $\lambda_2 = 1,149$  — собственные числа.

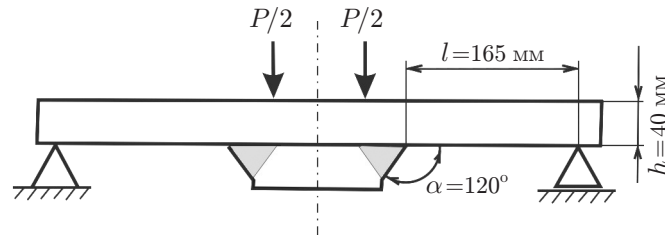


Рис. 5. Модель сварного соединения с угловыми швами

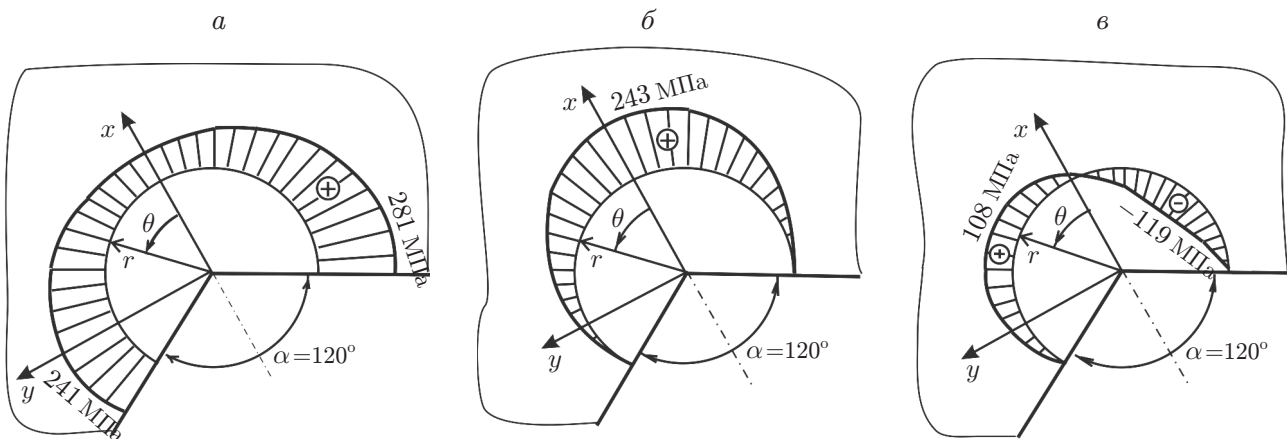


Рис. 6. Эпюры напряжений вблизи вершины V-образного выреза модели сварного соединения:

$a - \sigma_r$ ,  $b - \sigma_\theta$ ,  $c - \tau_{r\theta}$

С использованием выражений для напряжений (3), а также формул (9), (10) при некоторой произвольной нагрузке  $P = 100$  кН построены эпюры напряженного состояния вблизи вершины V-образного выреза в рассматриваемой модели при совместном нагружении первого и второго типов (рис. 6). Эпюры напряжений позволяют определить начальное направление развития трещины с использованием критериев  $W_\sigma$ ,  $W_\tau$ .

На рис. 7 представлены эпюры плотности энергии деформации  $W_\sigma$ ,  $W_\tau$  для рассматриваемой модели при той же нагрузке  $P = 100$  кН ( $\mu = 0,78 \cdot 10^5$  МПа,  $r_c = 1$  мм,  $k = 1,8$ ), построенные по формулам (5), (6) с учетом (9), (10). Из рис. 7, *a* следует, что критической величиной угла является угол  $\theta_c = -110^\circ$ , максимальным растягивающим напряжением —  $\sigma_r$  (см. рис. 6). Это означает, что сначала трещина должна распространяться перпендикулярно указанному направлению:  $\theta_{cr} = \theta_c + 90^\circ = -20^\circ$ . Из рис. 7, *b* следует, что критической величиной угла является  $\theta_c = -63^\circ$ , при которой максимальные по модулю касательные напряжения  $\tau_{r\theta}$  отрицательны (см. рис. 6). В данном случае направление образования трещины  $\theta_{cr} = \theta_c = -63^\circ$ .

Согласно представленной модели (см. рис. 5) были изготовлены и испытаны на статический изгиб до разрушения две серии сварных образцов [6]. Первая серия образцов (рис. 8, *a, б*) испытывалась в исходном состоянии материала, т. е. при отсутствии термомеханического воздействия, вторая серия (рис. 8, *в, г*) — после термомеханического воздействия, описанного в примере 1. Указанное воздействие привело к существенному повышению прочности и уменьшению пластичности металла сварного образца. На рис. 8 показаны зоны пластичности в момент образования трещины, вычисленные с использованием критерия Мизеса.

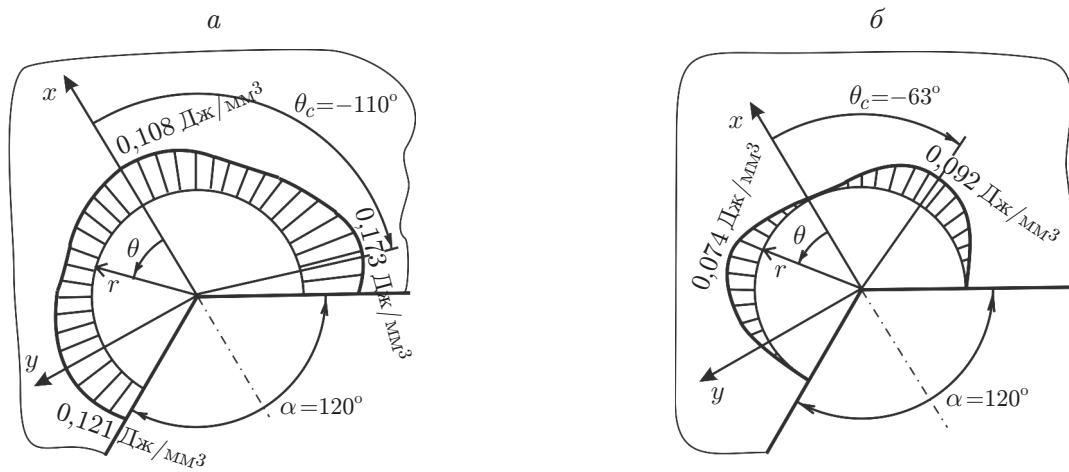


Рис. 7. Эпюры плотности энергии деформации  $W_\sigma$  (а),  $W_\tau$  (б) вблизи вершины V-образного выреза модели сварного соединения

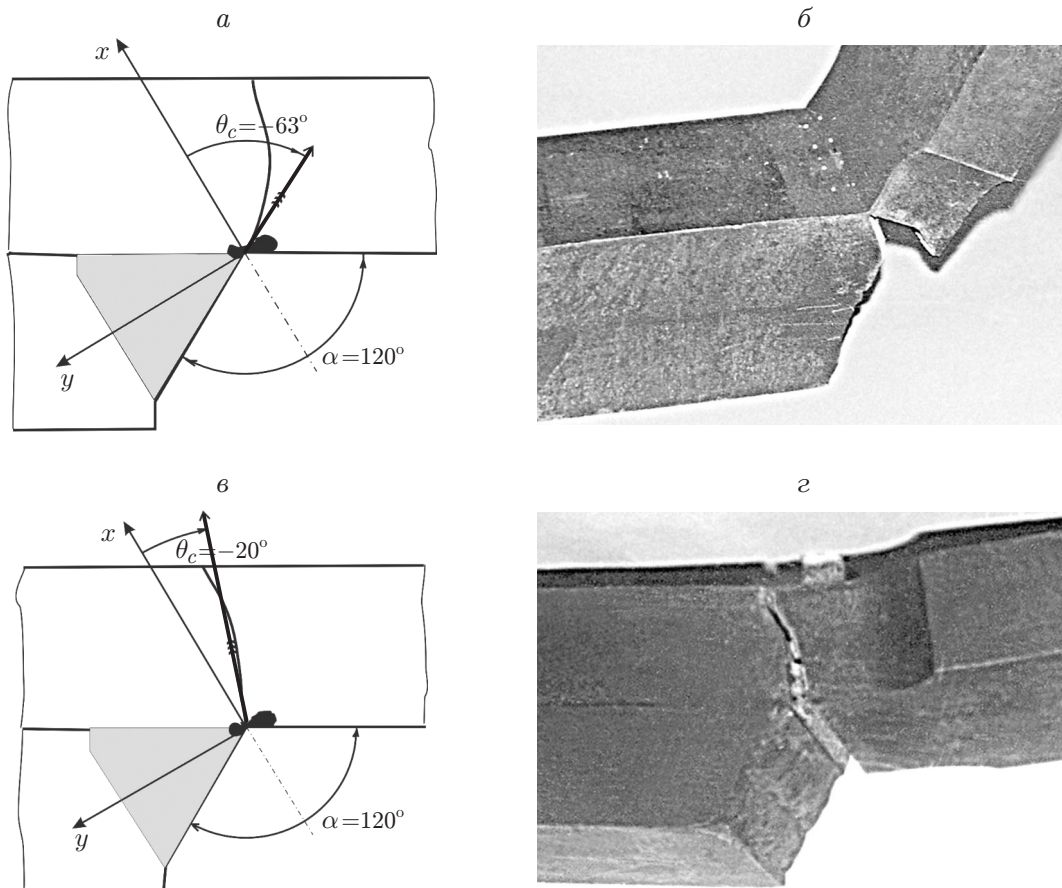


Рис. 8. Схемы разрушения (а, в) и фотографии разрушенного сварного образца (б, г):  
 а, б — в исходном состоянии металла, в, г — после термомодеформационного воздействия;  
 утолщенные стрелки — начальные направления образования трещины; кривая — траектория развития трещины

При изготовлении экспериментальных образцов граница между наплавленным и основным металлами создавалась искусственно путем электроэрозии (для получения острого V-образного выреза). Данная граница имитировала возможный подрез при некачественном выполнении сварки при промышленном производстве.

На рис. 8 видно, что начальные направления образования трещины в рассматриваемых сварных образцах различаются. На рис. 8, *а, б* показано предсказанное выше направление разрушения для чистого сдвига  $\theta_{cr} \simeq -63^\circ$ , следовательно, этот случай должен оцениваться с помощью критерия  $W_\tau$ . На рис. 8, *в, г* имеет место предсказанное направление образования трещины  $\theta_{cr} \simeq -20^\circ$ . Сравнение расчетных и экспериментальных данных показывает, что влияние остаточных сварочных напряжений на начальное направление разрушения несущественно.

С использованием полученных в [6] значений критических нагрузок в момент возникновения трещин в сварных образцах ( $P_c = 316$  кН для образца, показанного на рис. 8, *а, б*,  $P_c = 397$  кН для образца, показанного на рис. 8, *в, г*), а также формул (9), (10) вычислены критические значения коэффициентов интенсивности напряжений  $C_{1\alpha c}$ ,  $C_{2\alpha c}$ . Для образца, показанного на рис. 8, *а, б*,  $C_{1\alpha c} = 449$  Н/мм<sup>1,616</sup>,  $C_{2\alpha c} = -63$  Н/мм<sup>2,149</sup>, для образца, показанного на рис. 8, *в, г*,  $C_{1\alpha c} = 564$  Н/мм<sup>1,616</sup>,  $C_{2\alpha c} = -80$  Н/мм<sup>2,149</sup>.

Для того чтобы определить критический радиус  $r_c$  для рассматриваемых сварных образцов, целесообразно провести микроисследование металла непосредственно вблизи вершины V-образного выреза для выявления зоны разрыхления перед началом образования трещины. Для примера 2 такое исследование не проводилось, радиус  $r_c = 0,384$  мм был вычислен, когда определялась универсальная характеристика  $W_{\sigma c} = 5,29$  Дж/мм<sup>3</sup> (см. пример 1) вблизи вершины V-образного выреза сварного образца (см. рис. 8, *в, г*). Для образца с линейной трещиной (пример 1)  $r_c = 0,340$  мм. Таким образом, значения радиусов  $r_c$  для образцов с линейной трещиной и с V-образным вырезом различаются несущественно.

С использованием критических значений  $C_{1\alpha c}$ ,  $C_{2\alpha c}$ ,  $r_c$  и формул (5), (6) для сварного образца, показанного на рис. 8, *а, б*, получены значения плотности энергии деформации  $W_\sigma = 3,35$  Дж/мм<sup>3</sup> при  $\theta_c = -110^\circ$  и критической плотности энергии деформации  $W_{\tau c} = 1,82$  Дж/мм<sup>3</sup> при  $\theta_{cr} = \theta_c = -63^\circ$ . Заметим, что в момент появления трещины в сварном образце (см. рис. 8, *а, б*) практически достигается только критическая плотность  $W_{\tau c}$ , которую можно рассматривать в качестве универсальной характеристики разрушения стали марки 10ХСНД в исходном состоянии (при отсутствии термодформационного воздействия).

Для сварного образца, показанного на рис. 8, *в, г* (при наличии термодформационного воздействия на материал), реализовано универсальное критическое значение  $W_{\sigma c} = 5,29$  Дж/мм<sup>3</sup> для  $\theta_c = -110^\circ$  ( $\theta_{cr} = -20^\circ$ ), полученное в примере 1; нереализованное текущее значение  $W_\tau = 2,88$  Дж/мм<sup>3</sup> при  $\theta_c = -63^\circ$  вычислено по формуле (5).

**Заключение.** В работе предложен новый теоретический подход для оценки разрушения тел с острым V-образным вырезом.

Рассмотренные примеры позволяют сделать следующие выводы. При наличии известных экспериментальных значений  $K_{Ic}$  (и (или)  $K_{IIc}$ ) для квазихрупкого материала можно численно определять критические нагрузки для начального момента разрушения и начальное направление образования трещины для любых плоских деталей и конструкций из того же материала с острыми V-образными вырезами при любых заданных углах раскрытия. Необходимое для расчетов значение радиуса  $r_c$  с достаточной для экспериментальных исследований степенью точности можно определить, проводя испытания образцов с линейной трещиной.



Используемые в примере 2 значения критических нагрузок  $P_c$  имели погрешность оценки их средних значений (коэффициент вариации) менее 0,02 при доверительной вероятности 0,9. Максимальный разброс средних значений  $P_c$  составил  $\pm 3\%$ , максимальный разброс критических плотностей энергии  $W_{\sigma c}$ ,  $W_{\tau c}$  —  $\pm 6\%$ .

#### ЛИТЕРАТУРА

1. **Овчаренко Ю. Н.** Локальная плотность энергии деформации в окрестности острых V-образных вырезов в пластинах // ПМТФ. 2013. Т. 54, № 6. С. 161–169.
2. **Sih G. C., Ho J. W.** Sharp notch fracture strength characterized by critical energy density // Theor. Appl. Fract. Mech. 1991. V. 16. P. 179–214.
3. **Аниковский В. В., Карзов Г. П.** Исследование сопротивления хрупкому разрушению сварных элементов конструкций с учетом длительного термического старения по критериям механики разрушения // Вопросы судостроения. Сер. 8. Металлургия и сварка. Л.: Судостроение, 1973. С. 10–14.
4. **Wong A. K.** On the application of the strain energy density theory in predicting crack initiation and angle of growth // Engng Fract. Mech. 1997. V. 27, N 2. P. 157–170.
5. **Овчаренко Ю. Н.** Теория и практика V-образных вырезов в механике разрушения. Тула: Тул. гос. ун-т, 2003.
6. **Овчаренко Ю. Н.** Оценка работоспособности сварных соединений с угловыми швами с использованием механики разрушения: Дис. . . . канд. техн. наук. М., 1981.

*Поступила в редакцию 24/IV 2014 г.,  
в окончательном варианте — 25/VI 2014 г.*

---